

Validation du pipeline HyperGal

Sommaire

9.1	Génération des simulations	2
9.1.1	Méthode	2
9.1.2	Cube de galaxies isolées	2
9.1.3	Spectres de supernovae	2
9.1.4	Échantillon d'étude	5
9.1.5	Création des cubes de simulation	8
9.2	Résultats et précision	9
9.2.1	Précision spectrophotométrique	10
9.2.2	Précision avec correction de continuum	12
9.2.3	Distribution de contraste dans les observations	15
9.2.4	Efficacité de classification	16

Nous avons présenté et détaillé dans le chapitre précédent le fonctionnement du pipeline **HYPERGAL**. Après s'être assuré de sa robustesse opérationnelle, nous avons cherché une méthode de validation de son efficacité. L'objectif est ainsi de quantifier la précision d'extraction des spectres de supernova en fonction des conditions d'observation, et la capacité d'**HYPERGAL** à les classifier correctement. Nous avons pour cela choisi de procéder à des simulations de cubes d'observation avec la SEDm.

Dans ce chapitre nous présenterons dans un premier temps la procédure de génération des simulations, puis nous présenterons les résultats obtenus de l'utilisation d'**HYPERGAL** sur ces cubes simulés. Nous feront également pour toutes les analyses une confrontation entre **HYPERGAL** et la méthode d'extraction simple, sans modélisation hyperspectrale de la galaxie hôte. Nous aurons ainsi une estimation de la robustesse absolue de notre pipeline, mais également de la robustesse relative avec celui préalablement utilisé par la collaboration ZTF pour la classification des supernovae.

9.1 Génération des simulations

9.1.1 Méthode

Afin de se rapprocher au plus près des conditions d'observation, nous avons profité de quelques périodes de mise hors service de la caméra principale ZTF (entre fin novembre 2021 et fin janvier 2022) : nous avons pu utiliser occasionnellement la SEDm pour observer des galaxies hôtes isolées, dans lesquelles une supernova a été observée dans le passé.

Nos simulations sont basées sur une dizaine de ces cubes, issus de l'instrument pour lequel nous souhaitons tester HYPERGAL, et contenant dans le champ de vue une galaxie et un fond réels.

Le but est de rajouter une composante de supernova dans ces cubes en marginalisant sur les conditions d'observation habituelles comme le seeing, ou la proportion de chaque type de supernova, tout en explorant les conditions impactant la robustesse d'HYPERGAL comme la distance entre la source ponctuelle et le centre galactique, et le rapport signal sur bruit.

Pour notre étude nous avons créé un jeu de 5000 cubes de simulation, et nous détaillons dans cette section leur conception.

9.1.2 Cube de galaxies isolées

La base de nos simulations proviennent donc d'observations réelles avec la SEDm de galaxies ayant accueilli au moins un an dans le passé une supernova. Ce délai nous permet de nous assurer de l'absence de résidu visible de l'explosion. Ces cubes sont donc naturellement dans l'espace de l'instrument pour lequel HYPERGAL a été conçu.

Les effets d'ADR sont également présents, et il faut par conséquent les caractériser avant d'inclure une composante de supernova pour que celle-ci soit soumise aux mêmes effets chromatiques. Bien que nous connaissons à priori la masse d'air et l'angle parallactique au début de l'observation, nous ne connaissons pas ces paramètres effectifs, car ils varient au cours de l'exposition (de l'ordre d'une demi-heure de temps de pose).

Nous avons pour cela inclu dans HYPERGAL la possibilité de prendre en compte ou non n'importe laquelle des composantes de scène, et avons procédé à l'ajustement de scène avec uniquement la galaxie hôte dans le MLA. Tout comme détaillé au chapitre précédent, l'ajustement du centroïde à chaque méta-tranche nous permet d'ajuster les paramètres effectifs d'ADR. Nos cubes présentent dans notre simulation une masse d'air allant de 1.01 à 2.04, ce qui nous permet de couvrir toutes les conditions d'observations, du cas idéal au cas le plus dégradé.

Nous montrons dans la Figure 9.1 les cubes intégrés des galaxies hôtes utilisés pour les simulations, illustrant leur diversité de morphologie et de position dans le MLA.

9.1.3 Spectres de supernovae

Afin de tester la précision d'extraction de spectre avec HYPERGAL, il nous faut inclure dans les cubes une source ponctuelle dont le spectre est connu a priori. L'étude seule de la précision d'extraction (par exemple avec un RMS spectral) est essentiellement indépendante de la forme du spectre, et donc du type de la supernova. Cependant nous souhaitons

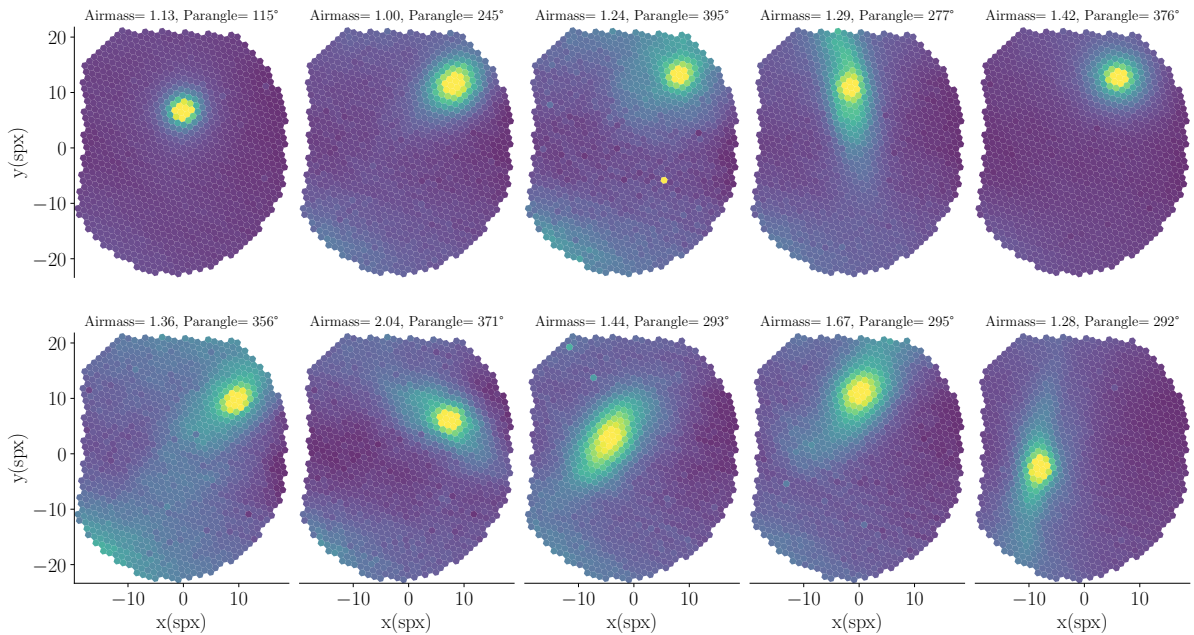


FIGURE 9.1 – Cubes intégrés (sur l’ensemble du domaine spectral de la SEDm) des galaxies hôtes utilisés pour les simulations. Bien que nous n’ayons pas eu l’opportunité d’avoir un grand nombre d’observations de galaxies isolées avec la SEDm, nous avons fait l’hypothèse que les morphologies et localisations variées de ces galaxies étaient suffisamment représentatives des observations pour constituer une base suffisante pour les simulations.

également avoir une estimation de l’efficacité d’**HYPERGAL** à classifier les supernovae. Pour analyser ces deux aspects (précision et classification), il faut donc que le spectre de la source ponctuelle simulée soit connu a priori et que nous connaissions sa classification.

Afin de se rapprocher le plus possible des spectres observés par la SEDm, nous avons choisi d’utiliser des spectres de supernovae déjà obtenus avec cet instrument, et classifiés avec succès par **SNID**.

Afin de s’assurer de la classification, nous n’avons sélectionné que des spectres avec un très haut *rlap* (paramètre de qualité/confiance de SNID considéré comme satisfaisant si $rlap > 5$, voir section 6.1 de [BLONDIN et TONRY \(2007\)](#)). Pour les spectres de supernovae de type Ia (les plus nombreuses à être observées), nous avons sélectionné 70 spectres avec un $rlap > 25$ pour le meilleur modèle, et un $rlap > 15$ pour les 30 premiers modèles.

Sur un raisonnement similaire, nous avons sélectionné 7 spectres de supernova de type II avec un $rlap > 12$. Pour les types Ic et Ib, plus rarement observés ($\approx 5\%$ des observations), nous avons pris seulement 1 spectre de chaque mais avec une forte confiance de classification ($rlap \approx 22$ pour la Ib et $rlap \approx 13$ pour la Ic). Chacun de ces spectre est ensuite lissé par application d’un filtre de Savitzky-Golay ([SAVITZKY et GOLAY, 1964](#)). Afin de ne pas casser les structures des spectres, nous utilisons un lissage léger avec un polynôme d’ordre 3 sur une fenêtre de 5 pixels spectraux.

Nous montrons dans la Figure 9.2 quelques exemples de spectre après lissage pour chaque type de supernova, ainsi que le meilleur modèle de classification **SNID** et le *rlap* associé.

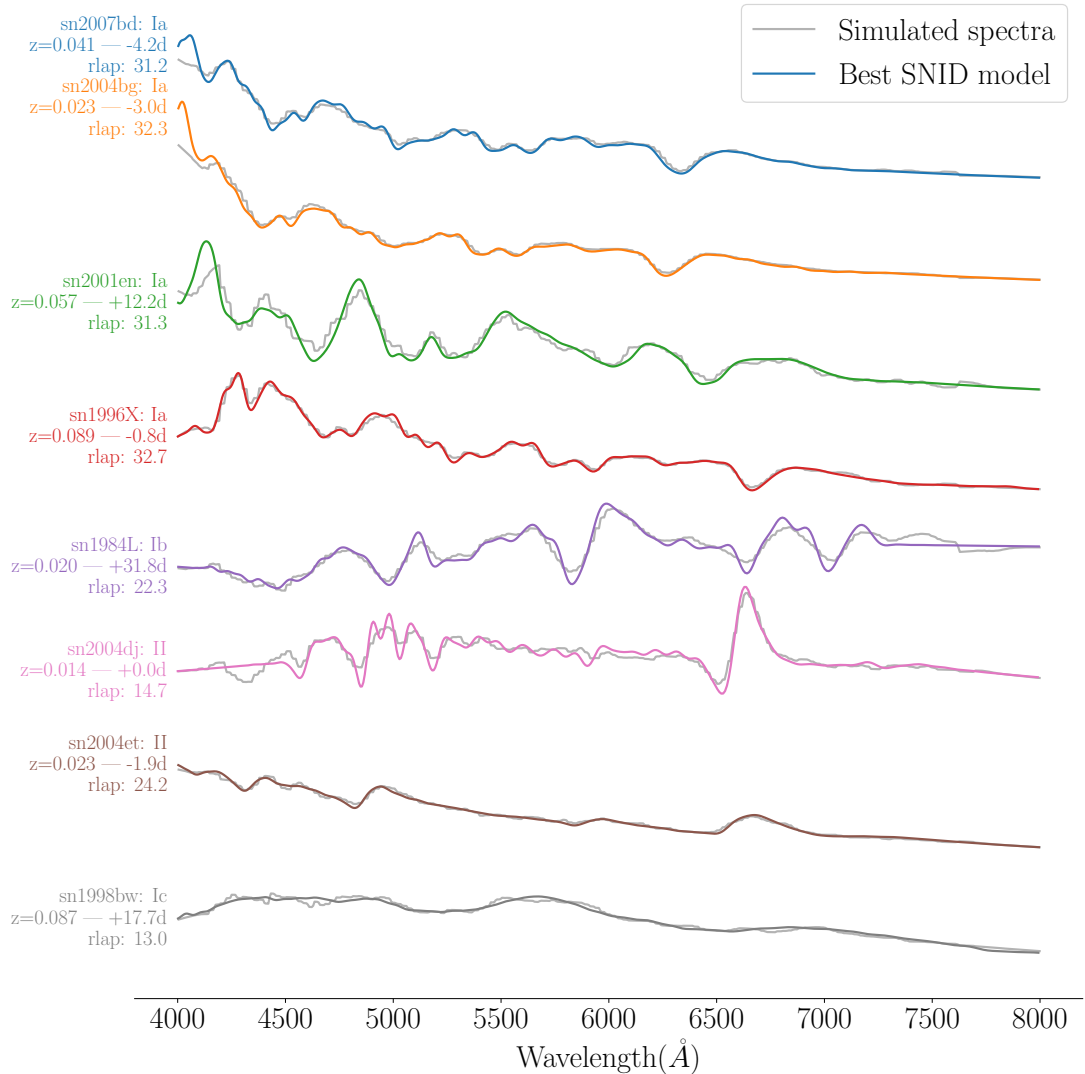


FIGURE 9.2 – Exemple de quelques spectre pour chaque type de supernova pour les simulations. Nous y montrons en gris le spectre utilisé pour les simulations qui provient d'une observation de la SEDm, et en couleur le meilleur modèle de classification SNID avec le *rlap*, redshift et phase associés.

9.1.4 Échantillon d'étude

9.1.4.1 Types et phases

Dans le but de représenter dans nos simulations les proportions observées de chaque type de supernova, nous utilisons les statistiques de la Data Release 1 du groupe Bright Transient Survey de ZTF (BTS ; [FREMLING et al., 2020](#)). Nous choisissons ainsi de répartir dans nos simulations 80% de SNeIa, 15% de SNeII, 2.5% de SNeIb et 2.5% de SNeIc. Ces deux derniers types sont habituellement regroupés, nous considérerons donc par la suite un groupe de 5% de SNeIbc.

Nous choisissons également de procéder à une marginalisation des phases des spectres de SNeIa, en se basant sur les statistiques de la DR1 du groupe SNeIa de ZTF ([DHAWAN et al., 2022](#)). Pour les 70 spectres utilisés, nous déduisons la phase en comparant le jour d'observation de la supernova avec le pic de luminosité ajusté par ZTF avec SALT2 ([GUY et al., 2005, 2007, 2010; BETOULE et al., 2014](#)) sur la courbe de lumière.

La distribution de phase de notre échantillon s'étend de -15 à +15 jours, avec une médiane à -2 jours. Nous pouvons ainsi sélectionner aléatoirement les spectres de SNIa, sachant leur phase et suivant une distribution équivalente à celle relevée dans [DHAWAN et al. \(2022\)](#). Nous marginalisons nos simulations suivant une distribution de phase gaussienne, centrée sur -3 jours et d'écart type 4 jours.

9.1.4.2 Seeing

Les supernovae étant des sources ponctuelles à ajouter dans nos cubes de simulations, elles sont entièrement caractérisées par leur profil de PSF.

Nous utilisons le profil radial développé au chapitre ?? avec l'étude des étoiles standards. Afin de représenter une distribution en seeing similaire à celle observée par la SEDm, nous marginalisons nos simulations sur le seeing en utilisant les distributions conjointes des paramètres de forme de PSF ajustés des 2202 étoiles standards extraites pour l'étude de la calibration en flux (section ??). Le profil de PSF chromatique est entièrement défini par 3 paramètres de forme : α_{ref} , η et ρ , où α_{ref} correspond à la largeur de la Moffat à une longueur d'onde de référence λ_{ref} arbitraire, que nous fixons à 6000 Å.

Nous faisons donc la supposition que la distribution en seeing des étoiles standards est représentative de celle des supernovae. Bien que la contribution de l'optique du télescope soit indépendante de l'objet observé, il faut noter que les étoiles standards le sont habituellement avec une masse d'air comprise entre 1 et 1.2. Nos simulations ayant une masse d'air comprise entre 1 et 2, cela implique potentiellement une sous-estimation de la distribution en seeing utilisée pour nos simulations que nous n'avons pas caractérisé. Nous montrons dans la Figure 9.3 les distributions conjointes des paramètres de forme de PSF utilisés pour les simulations.

La Figure 9.4 correspond à la distribution en seeing sous-jacente, avec une médiane de 1''.67, très proche de la valeur indiquée dans [BLAGORODNOVA et al. \(2018\)](#) de 1''.68.

9.1.4.3 Distance supernova/centre galactique

HYPERGAL a été conçu pour répondre à la problématique de la contamination de la source ponctuelle par la galaxie hôte. Nous voulons donc explorer la précision d'extraction de spectre des SNe et l'efficacité de classification suivant la distance séparant la source

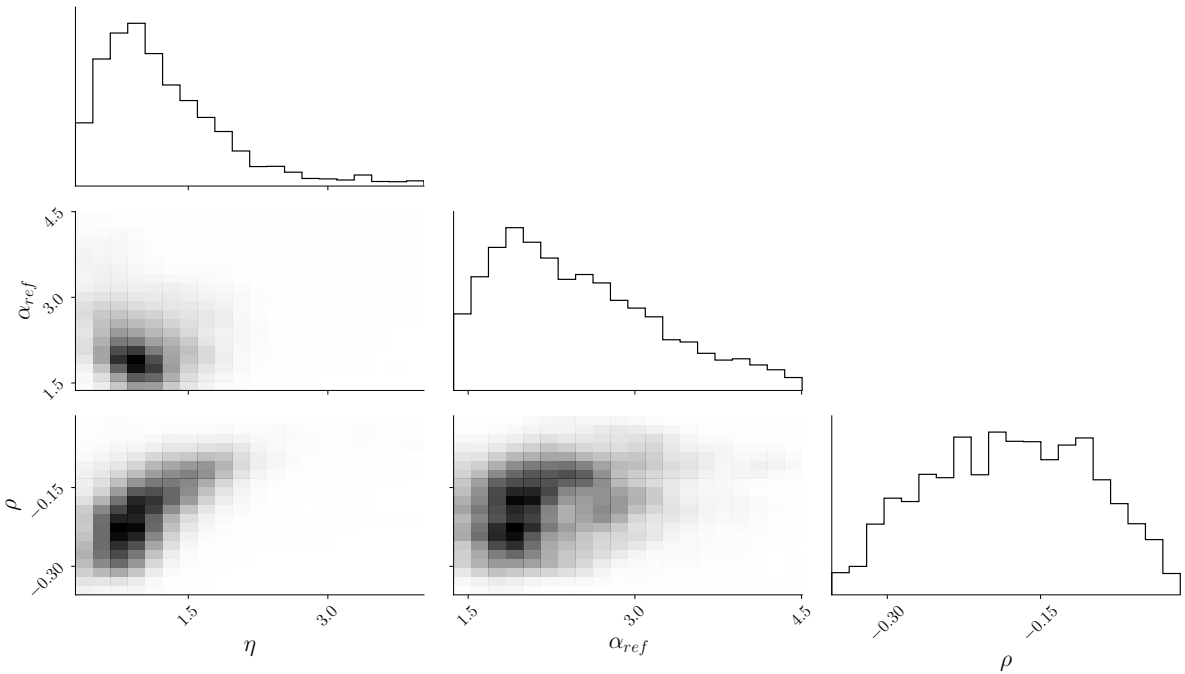


FIGURE 9.3 – Distribution conjointe des paramètres de PSF utilisés pour les simulations. Le niveau de gris indique la densité de simulations dans un intervalle donné.

ponctuelle du centre galactique. Dans ces simulations nous ne nous intéressons pas aux cas où la supernova est complètement isolée dans le champ de vue, puisque la contribution de la galaxie est alors marginale et la méthode d'extraction devient identique à celle des étoiles standards.

Nous utilisons une distribution uniforme comprise entre 0 et 10 spaxels de distance, ce qui correspond à un écart maximal de $\approx 5''.6$. Cette distance seuil représente environ 2 à 3 largeur à mi-hauteur suivant le profil radial des sources ponctuelles, ce qui nous semble suffisant pour explorer un large intervalle de séparation angulaire jusqu'à la limite d'un fond non structuré.

Nous prenons également en compte que lors des observations réelles, les supernovae sont habituellement situées vers le centre du MLA. Ainsi afin d'éviter de simuler une cible dans un des coins du cube, nous restreignons la localisation possible de la source ponctuelle dans un cylindre de 12 spaxels de rayon au centre du MLA. Pour les cas où la galaxie est très excentrée et que nous simulons une source ponctuelle proche du centre galactique, nous privilégions de la positionner dans le quart de cercle en direction du centre du MLA.

9.1.4.4 Contraste

Le dernier paramètre que nous utilisons pour explorer la robustesse d'HYPERGAL correspond à l'intensité du flux de la supernova par rapport au signal de fond : nous introduisons ainsi le contraste c_r , défini dans la bande photométrique équivalente r_{ZTF} afin de pouvoir plus aisément comparer les résultats des simulations avec un cas réel d'observation. Nous exprimons ce paramètre de la façon suivante :

$$c_r = \frac{S_r}{S_r + B_r} \quad (9.1)$$

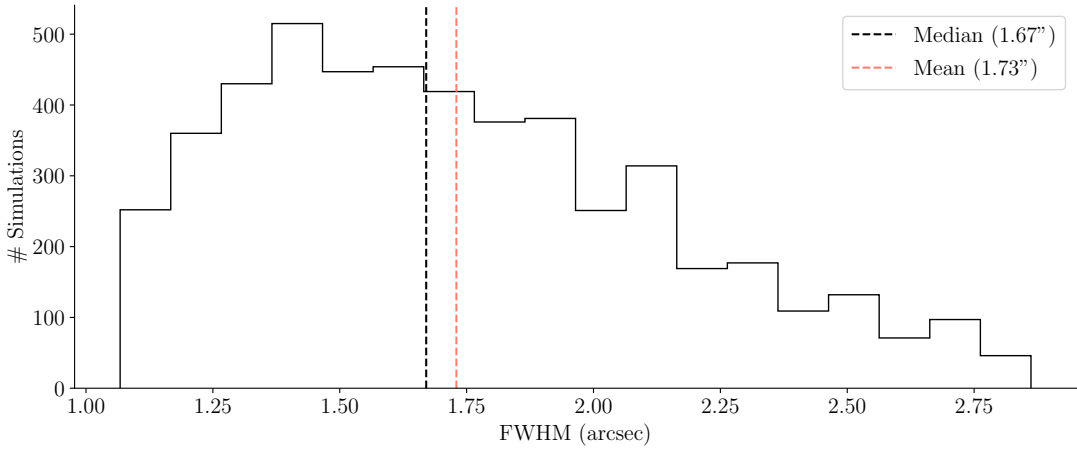


FIGURE 9.4 – Distribution du seeing pour les simulations en arcsec.

avec S_r le signal de la supernova et B_r le signal de tout ce qui se situe en fond (ciel + galaxie), tout deux intégrés dans la bande équivalente r .

Afin de déterminer la quantité B_r qui contamine le signal de la supernova, nous prenons en compte le profil de PSF utilisé pour simuler la source ponctuelle. Plutôt que de considérer une ouverture fixe autour de la localisation de la SN simulée pour définir B_r , nous multiplions le cube de simulation sans la SN par un cube ne contenant que le profil de PSF (normalisé avec un pic à 1) à la localisation de simulation de la SN. En faisant cela nous pondérons spatiallement le signal de contamination B_r par le profil de PSF simulé de la SN.

Le contraste est défini dans l'intervalle $[0, 1]$, 0 impliquant que la supernova n'existe pas, et 1 qu'elle est infiniment plus intense que le fond (ou que le fond est à zéro ce qui n'est pas notre cas ici).

La Figure 9.5 illustre l'uniformité de la distribution en contraste et de la distribution en distance SN-centre galactique.

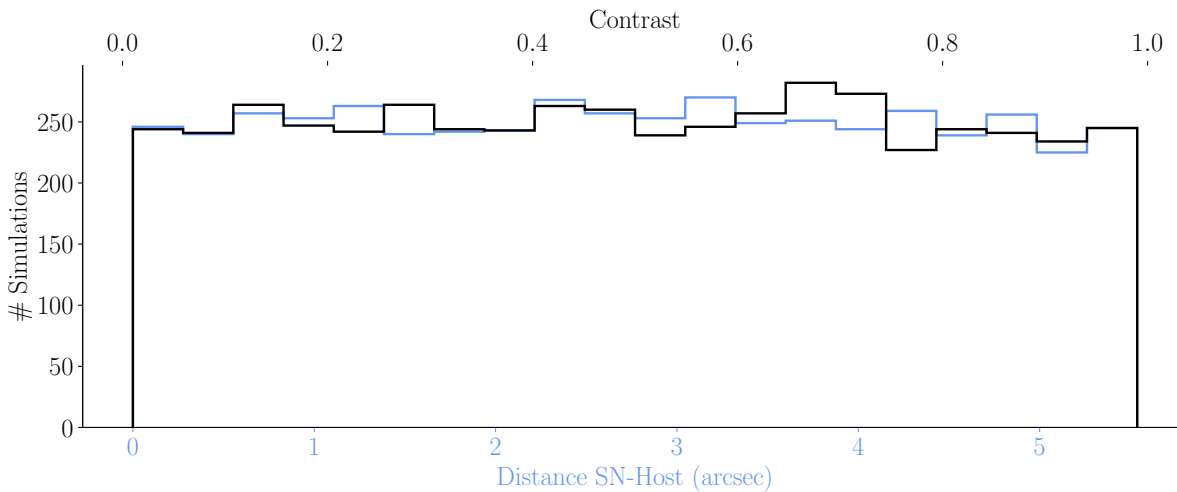


FIGURE 9.5 – Distribution du contraste et de la distance SN-centre de la galaxie des simulations

9.1.5 Création des cubes de simulation

Après avoir procéder à la marginalisation des proportions de chaque type de supernova, de la phase des Ia et du seeing, nous générerons un jeu de $N \times m$ paramètres avec N le nombre de simulations (5000), et m les paramètres de la simulation :

- ◊ Cube de la galaxie hôte ($i = 1, 2.., n$) ;
- ◊ Spectre de supernova (type, phase) ;
- ◊ Paramètres de PSF décrivant la SN (α, η, ρ) ;
- ◊ Distance entre la SN et le centre galactique (d) ;
- ◊ Contraste (c_r).

Connaissant *a priori* la calibration en flux utilisée pour chacun des cubes, nous appliquons une calibration inverse sur le spectre de la SN à simuler, qui est initialement en unité de flux physique. Cela nous permet de travailler en ADU, et ainsi d'ajouter le signal de la supernova simulée et le bruit associé.

La création d'un cube de simulation sachant les m paramètres se fait ensuite en plusieurs étapes :

- (a) **Détermination de la localisation (x_{ref}, y_{ref}) de la supernova** dans le cube à une longueur d'onde de référence ($\lambda_{ref} = 6000\text{\AA}$) : nous prenons aléatoirement une position sur le cercle centré sur la galaxie, avec un rayon égal à la distance choisie SN-galaxie. Nous prenons en compte les contraintes pour éviter les bords du cube expliquées dans la section ?? ;
- (b) **Détermination du signal de fond B_r** : nous construisons un cube vide dans lequel nous plaçons le profil de PSF à la localisation et longueur d'onde fixée à l'étape précédente. Le pic du profil est normalisé à 1. Nous appliquons les effets d'ADR (déviation chromatique du centroïde), sachant les paramètres de masse d'air et d'angle parallactique effectif de la galaxie. Nous multiplions alors le cube de la galaxie par ce cube ne contenant que le profil de PSF simulé dont le pic est normalisé à 1, le résultat étant un nouveau cube contenant uniquement le signal de fond B contaminant la SN. Connaissant la transmission du filtre r de ZTF, nous déterminons B_r .
- (c) **Détermination du coefficient multiplicatif à appliquer sur le spectre de la supernova.** Connaissant le spectre de la supernova en ADU, nous en déduisons son signal \tilde{S}_r dans la bande R avant adaptation au contraste souhaité. Sachant B_r , \tilde{S}_r et le contraste c_r , nous appliquons le coefficient multiplicatif nécessaire sur l'ensemble du spectre de la SN (et donc sur \tilde{S}_r) pour obtenir le contraste souhaité. Le spectre final est noté S , et l'intégration dans la bande équivalente r correspond à S_r .
- (d) **Ajout du bruit associé à la supernova.** Nous supposons que le flux ajouté de la supernova simulée génère un bruit entièrement caractérisé par une loi de Poisson. Nous ajoutons donc au cube SEDm pour chaque spaxel de chaque tranche une variance telle que $\sigma_S^2 = S$.

- (e) **Détermination du SNR.** Le SNR n'est pas un paramètre de nos simulations, mais nous pouvons l'estimer connaissant S_r , σ_{B_r} et σ_{S_r} . On définit le SNR dans la bande r comme $\text{SNR}_r = \frac{S_r}{\sqrt{\sigma_{B_r}^2 + \sigma_{S_r}^2}}$, où σ_{B_r} est naturellement présent dans le cube de la galaxie et contient les contributions de la galaxie, du ciel et du bruit de lecture. σ_{S_r} est déterminé à l'étape précédente.
- (f) **Construction du cube de simulation.** Tous les ingrédients sont réunis pour la construction du cube : le spectre de la supernova, sa position chromatique, son profil de PSF chromatique et le coefficient multiplicatif pour avoir le contraste désiré.

Nous procédons ainsi à la générations des 5000 cubes de simulations. Dans la Figure 9.6 nous illustrons quelques exemples de ces cubes pour différentes valeurs de contraste, distance, type de SN et SNR.

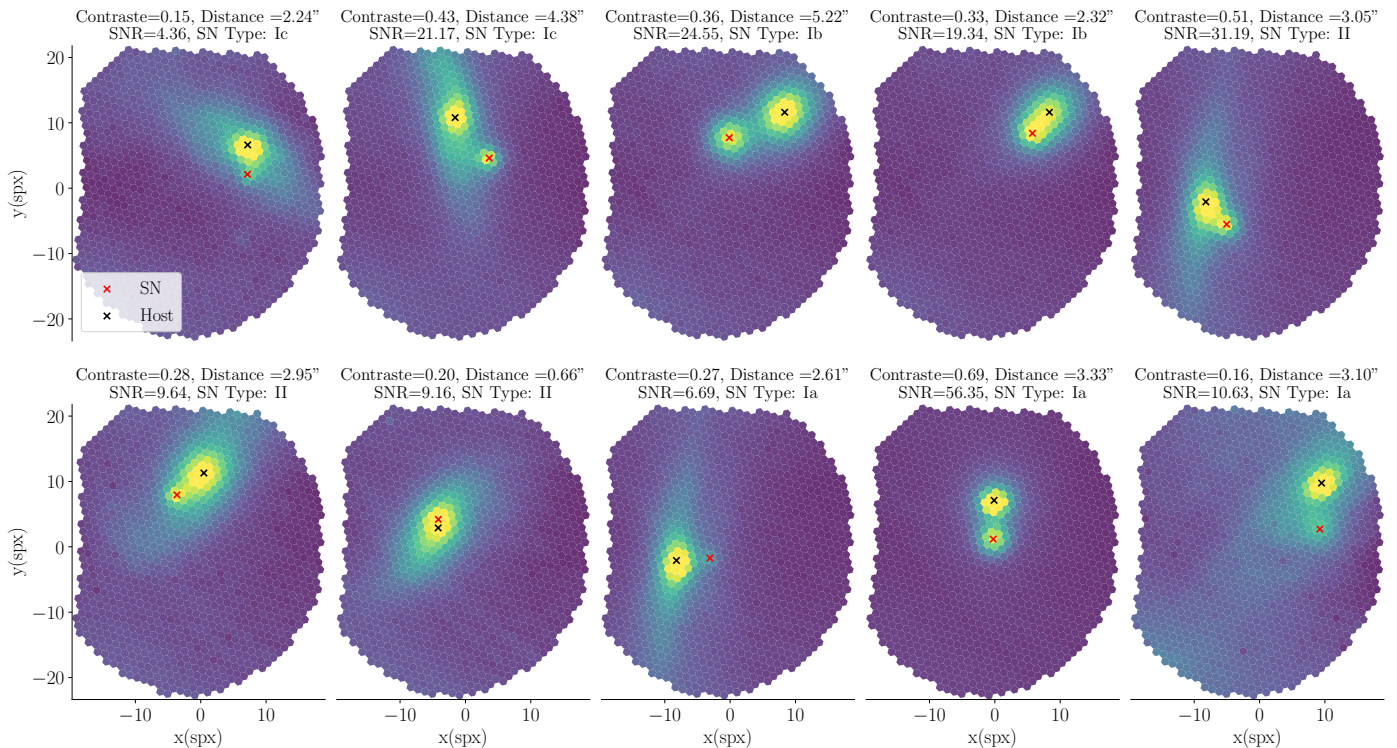


FIGURE 9.6 – Examples de cubes de simulation pour différentes valeurs de contraste, distance, type de SN et SNR.

9.2 Résultats et précision

Après avoir généré nos cubes de simulation, nous avons fait tourner **HYPERRGAL** suivant 2 méthodes : la première avec une modélisation de scène complète comprenant toutes les composantes comme détaillée au chapitre précédent. Puis une deuxième fois avec la méthode d'extraction similaire au pipeline d'origine **PYSEDM**, sans modélisation de la galaxie hôte, utilisé comme référence.

Nous n'avons pas utilisé directement le pipeline **PYSEDM** car les modèles de PSF et de fond sont différents de celui d'**HYPERRGAL**, ce qui n'aurait pas permis une comparaison juste.

La méthode d'extraction est cela dit identique, suivant le procédé détaillé dans [RIGAULT et al. \(2019\)](#) et la section [??](#). Les seules différences avec la modélisation de scène complète sont l'absence de modèle de galaxie et le fait que l'on ne considère qu'un disque de 10 spaxels de rayon autour de la position de la supernova pour son extraction.

En plus d'une étude de la robustesse absolue d'[HYPERGAL](#), cette confrontation nous permet d'avoir également une idée de l'amélioration apportée avec ce nouvel outil d'extraction de spectre.

Nous dénominerons dans la suite du manuscrit l'indice HG pour la méthode de modélisation de scène [HYPERGAL](#), et PS pour la méthode d'extraction de source ponctuelle basique.

Dans cette section nous allons étudier 3 informations pour chacune des 2 méthodes :

- ◊ **La précision spectrophotométrique**, c'est à dire une comparaison directe du spectre d'entrée de simulation et du spectre extrait ;
- ◊ **La précision après correction du continuum**, à l'instar de la méthode de pré-traitement utilisé par le classifieur [SNID](#) (section [??](#)). La SEDm ayant été conçu pour la classification de spectres, ce qui nous importe est la capacité d'[HYPERGAL](#) à extraire les informations spectrales permettant cette classification, c'est à dire les structures spectrales traduisant les caractéristiques de tel ou tel type. Nous nous affranchissons ainsi d'éventuels problèmes de calibrations absolues et relatives au flux.
- ◊ **L'efficacité de classification**. Pour cela nous utiliserons le même classifieur utilisé par ZTF, [SNID](#), et nous comparerons la classification du spectre extrait avec celui connu a priori.

9.2.1 Précision spectrophotométrique

Commençons par étudier la capacité d'extraction spectrophotométrique d'[HYPERGAL](#) et de la méthode d'extraction simple. Pour ce faire nous calculons pour chaque simulation le RMS spectral, dans l'intervalle de longueur d'onde utile à la classification, c'est à dire $[4000,8000]$ Å. Nous regardons ensuite l'évolution de ce RMS en fonction du contraste et de la distance angulaire entre la SN et le centre de la galaxie.

Dans un premier temps, nous avons vérifié les corrélations entre la distribution des RMS calculés des deux méthodes et les différents paramètres de la simulation (Figure [9.7](#)). Nous remarquons sans surprise que la précision d'extraction est fortement corrélée ($\rho = -0.83$) avec le contraste, mais très peu ($\rho = -0.16$) avec la distance séparant la SN de la galaxie. Cette contribution est cependant plus élevée ($\rho = -0.33$) pour la méthode classique d'extraction, attestant qu'à proximité de la galaxie l'approximation de fond non structuré n'est plus correcte, et dégrade l'extraction.

Passons maintenant à l'analyse de la distribution du RMS spectral. La Figure [9.8](#) illustre l'évolution du RMS spectral en fonction du contraste, en considérant des intervalles linéaires contenant la même quantité de simulations. La première information ressortant clairement de ces résultats est l'amélioration indiscutable obtenue avec la modélisation hyperspectrale de la galaxie, quelque soit le contraste. Par ailleurs, la méthode d'extraction basique semble clairement inutilisable spectrophotométriquement sur l'ensemble de la simulation, ne descendant sous les 10% de RMS qu'à partir d'un contraste $c \approx 0.8$.

Correlation between main simulation parameters for both extraction methods (spectrophotometric)

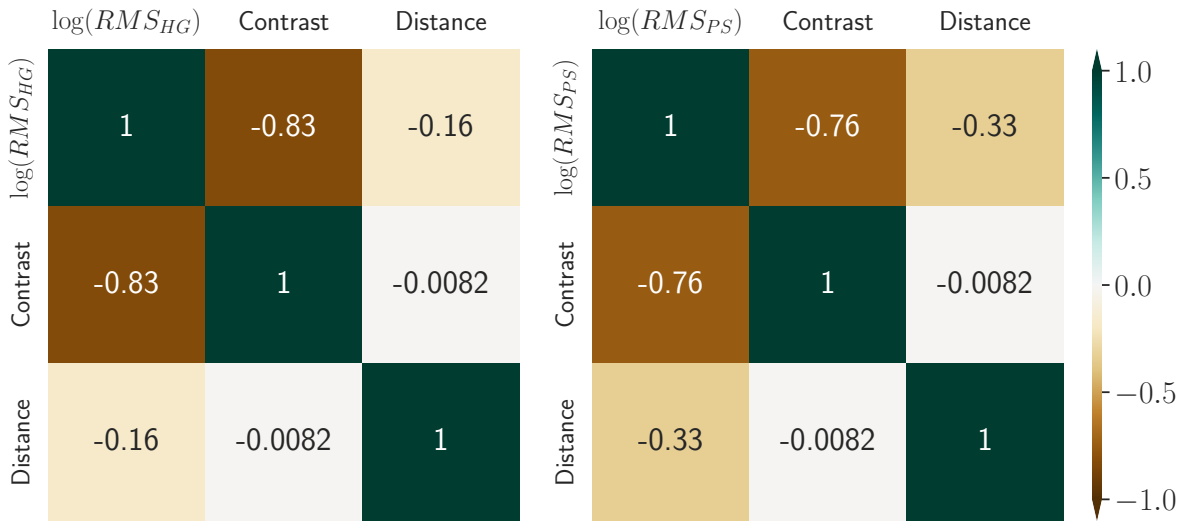


FIGURE 9.7 – Carte des coefficients de corrélation de Pearson des paramètres principaux de la simulation dans l'étude spectrophotométrique. *À gauche* les corrélations pour la modélisation de scène complète. La corrélation entre la distance SN-centre de la galaxie et le RMS spectre d'entrée-spectre de sortie est quasiment inexiste pour la méthode **HYPERGAL**. *À droite* nous montrons les mêmes corrélations pour la méthode d'extraction de référence, sans modélisation hyperspectrale de la galaxie. Bien que modérée, la distance montre une plus forte corrélation avec le RMS pour cette méthode.

La modélisation de scène quant à elle approche un $RMS \approx 10\%$ à partir d'un contraste $c \approx 0.5$, et descend sous les 5% vers un $c \approx 0.7$.

Nous montrons également la distribution des 3 premiers quartiles du rapport $\frac{RMS_{HG}}{RMS_{PS}}$, et nous pouvons visualiser une amélioration significative (d'un facteur 2 minimum pour 75% des simulations) entre les deux méthodes quelque soit l'intervalle de contraste considéré.

Cette différence de précision entre les deux méthodes, quelque soit le contraste, s'explique par l'influence de la distance pour l'extraction de référence. Contrairement à **HYPERGAL** le spectre extrait sera systématiquement plus dégradé si la SN ne se distingue pas suffisamment de la galaxie, où l'approximation d'un fond linéaire est justifiée. Nous illustrons cela dans la Figure 9.9, où nous présentons la même analyse mais en fonction d'intervalles de distance apparente entre la galaxie hôte et la supernova. Aucune corrélation avec la distance n'est visible pour la modélisation de scène complète comme explicité par la matrice de corrélation. La méthode d'extraction simple en revanche montre une forte dégradation lorsque la distance est inférieure à 4''. Ce sont les contributions des extractions sous ce seuil qui traduisent la surperformance d'**HYPERGAL** lorsque l'on ne considère que le contraste et que l'on marginalise sur la distance.

Quelque soit l'angle d'étude de la précision d'extraction spectrophotométrique, la méthode incluant la modélisation hyperspectrale de la galaxie hôte démontre une nette amélioration en comparaison avec une extraction basique comme celle proposée par **PYSED**.

Nous observons cependant que même le RMS spectral obtenu avec **HYPERGAL** ne permet pas d'étude scientifique spectrophotométrique avec la SEDm, à moins que le contraste soit

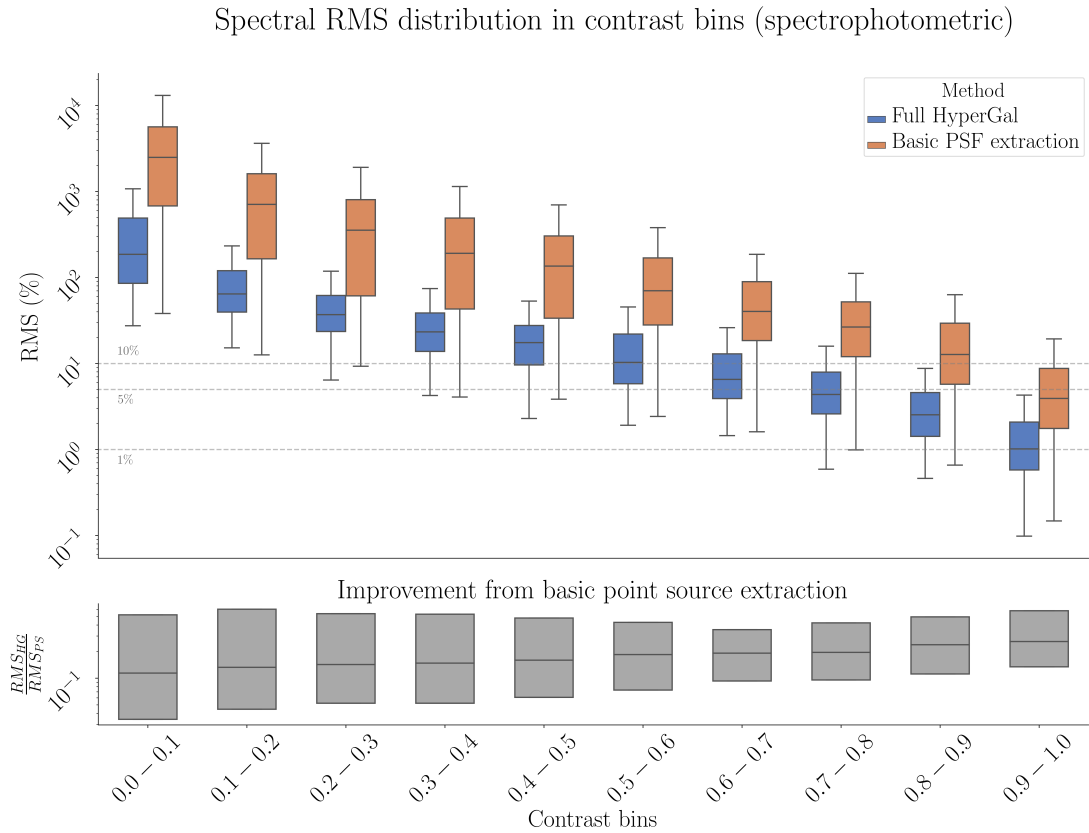


FIGURE 9.8 – Distribution du RMS spectral entre le spectre d’entrée de la simulation et le spectre extrait en fonction du SNR sur l’intervalle [4000,8000]Å. Les distributions sont présentées en boîtes, dont les 3 barres centrales représentent les 3 quartiles (25%, médiane et 50%). Nous illustrons ici une distribution de RMS spectral pour chacune des deux méthodes d’extraction et pour différents intervalles de contraste, chacun comptabilisant le même nombre de simulation. Nous montrons *en haut* le RMS spectral (en %) obtenu avec les deux méthodes en fonction du contraste. Les traits en pointillés indiquent les niveaux à 1%, 5% et 10%. *En bas* nous montrons le rapport $\frac{RMS_{HG}}{RMS_{PS}}$ pour illustrer l’amélioration apportée par HYPERGAL. Nous ne montrons que la boîte représentant les 3 quartiles de chaque distribution pour plus de clareté visuelle.

suffisamment élevé. Cet instrument, tout comme ce pipeline, ne sont heureusement pas conçus à cet effet mais à la classification des supernovae observées.

La classification utilise la structure du spectre au travers des raies d’absorptions/émissions caractéristiques de l’objet observé. La classification va donc se baser sur les corrélations entre le spectre extrait et une base de modèle dont la classification est a priori connue. En ce sens, nous avons choisi d’analyser le RMS spectral en retirant le continuum des spectres extraits, à l’instar de ce qui est effectué par SNID ([BLONDIN et TONRY, 2007](#)).

9.2.2 Précision avec correction de continuum

Afin de faire en sorte que le RMS spectral sonde les structures spectrales plutôt que le flux total ou la couleur, nous divisons les deux spectres par leur continuum respectif. Bien que SNID utilise un polynôme d’ordre 13 pour déterminer ce continuum, nous préférons

Spectral RMS distribution in host-SN distance bins (spectrophotometric)

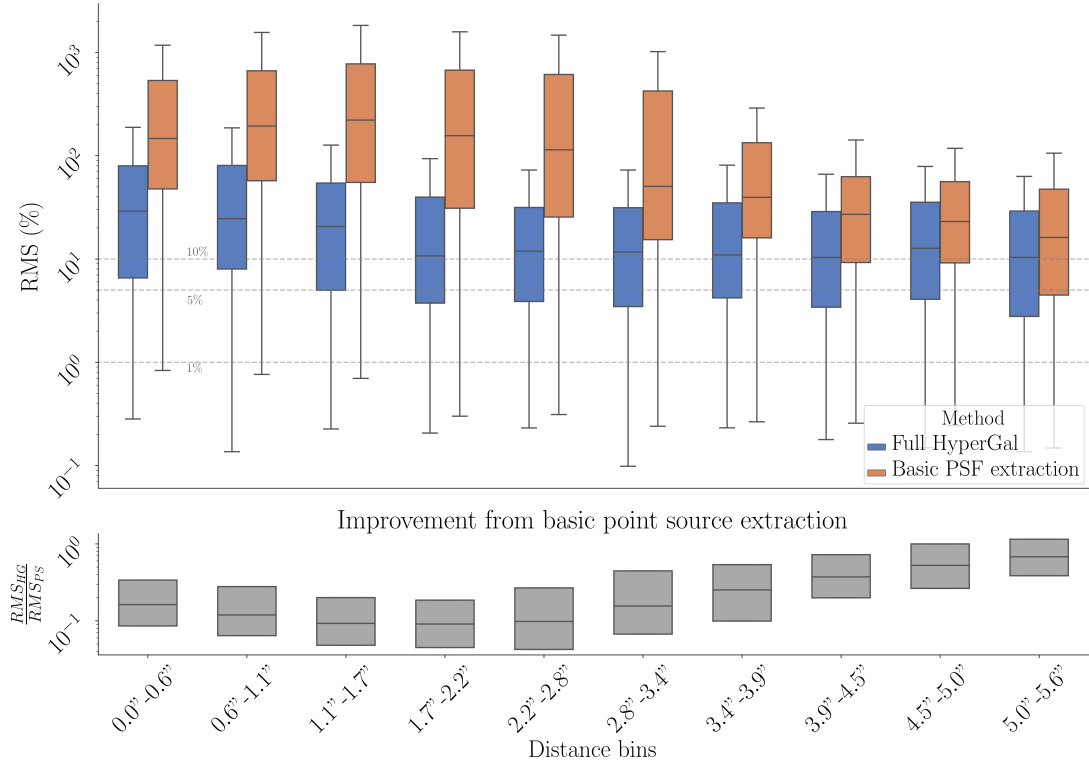


FIGURE 9.9 – Même chose que pour la Figure 9.8 mais en fonction de la distance.

procéder à cet ajustement avec un polynôme d’ordre 5 afin d’éviter un potentiel surajustement de certaines caractéristiques des spectres.

Nous illustrons cette correction dans la Figure 9.10, où nous montrons la comparaison entre un spectre extrait et celui simulé, avant et après division du continuum. Nous pouvons visualiser dans cet exemple un effet de couleur lors de l’extraction menant à un RMS spectral spectrophotométrique de plus de 33%. La distance entre la SN et le centre de la galaxie dans cet exemple est de seulement $0''.86$, soit moins de deux spaxels. En corrigeant par le continuum, on remarque que toutes les structures du spectres sont nettement extraites par HYPERGAL, et le RMS spectral tombe à 6%.

Ayant déjà montré l’influence de la distance pour la méthode d’extraction de référence, et l’absence d’impacte pour la modélisation de scène complète, il n’est pas vraiment d’intérêt à étudier l’évolution du RMS en fonction de la distance après division du continuum. Nous nous focalisons donc sur les résultats en fonction du contraste. La Figure 9.11 présente la distribution en RMS spectral obtenue, après division par le continuum, en fonction de différents intervalles de contrastes pour les deux méthodes d’extraction.

Indépendamment de leur précision relative, nous apercevons que les deux méthodes obtiennent un RMS spectral $> 20\%$ pour un contraste $c < 0.2$, ce qui nous laisse penser que la classification de spectre dans ce domaine risque d’être difficile. Nous vérifions cette hypothèse dans la section suivante (9.2.4).

La méthode de référence semble montrer une meilleure précision que la modélisation de scène complète aux très faibles contraste ($c < 0.1$). Cela vient en réalité du fait que

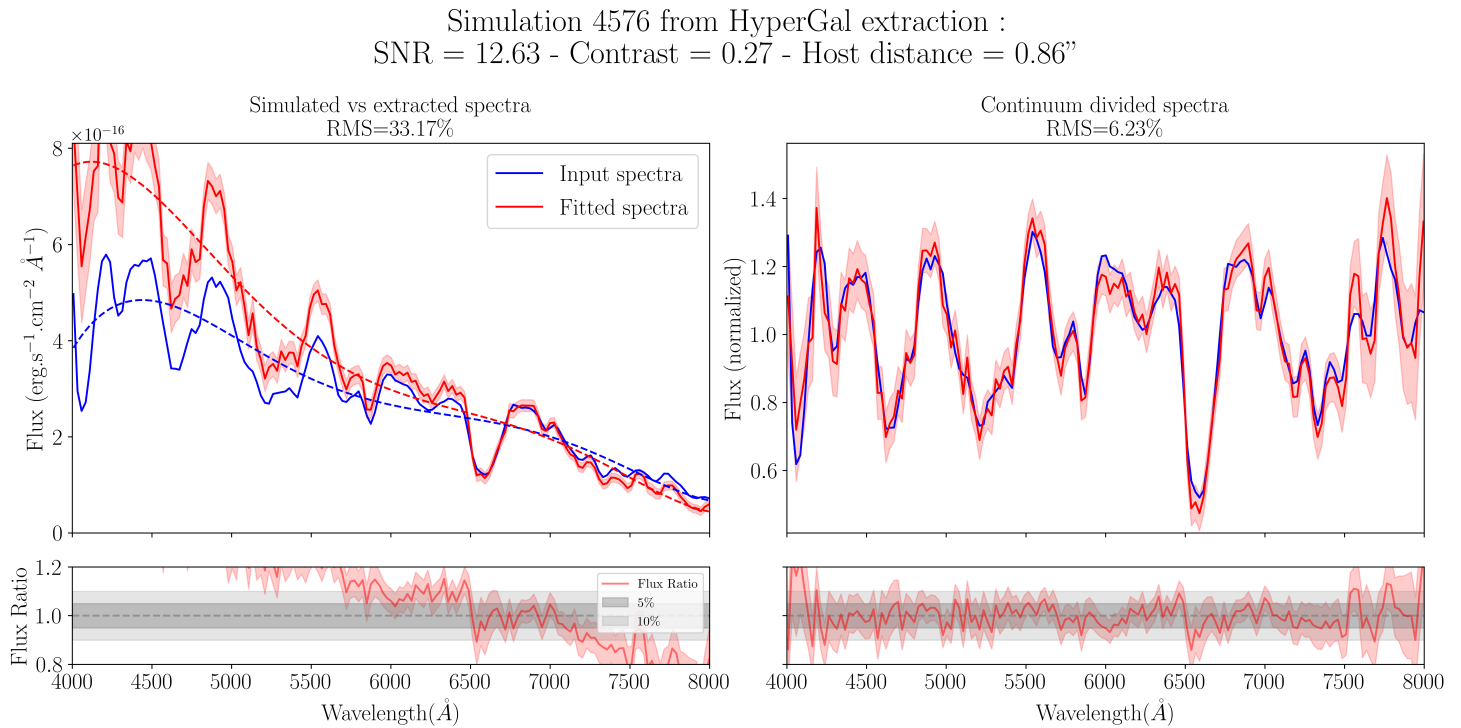


FIGURE 9.10 – Exemple de RMS spectral après correction du continuum (contraste de 0.27 et une distance hôte/SN de 0''.86). À gauche la comparaison du spectre simulé (en bleu) et du spectre extrait par HYPERGAL (en rouge), ainsi que le rapport entre les flux. On observe un effet de couleur dégradant fortement le RMS spectrophotométrique sur l'intervalle [4000,8000]Å, atteignant plus de 33%. Les courbes en pointillés représentent le continuum ajusté avec un polynôme d'ordre 5. À droite sont présentés les mêmes spectres après division par le continuum. La structure du spectre simulé est très bien retrouvée, et cette correction ramène le RMS spectral à $\approx 6\%$.

nous divisons les spectres par le continuum : à très faible contraste, les deux méthodes ne « voient » plus la SN et extraient le signal de fond. Hors, avec la modélisation de la galaxie et le modèle de fond, HYPERGAL extrait donc un spectre oscillant autour de 0. La division par le continuum de ce spectre fait donc exploser le RMS spectral. La méthode de référence quant à elle tente tout simplement d'extraire la galaxie, et ne rencontre pas ce type de divergence après division du continuum.

Entre $0.2 < c < 0.3$, HYPERGAL commence à se démarquer avec un RMS oscillant autour de 10%, situation similaire atteinte à $c \sim 0.4$ pour la méthode de référence. Le RMS spectral passe significativement sous les 10% pour $c > 0.3$, puis 5% pour $c > 0.5$ et 1-2% pour $c > 0.8$.

Par rapport à la méthode d'extraction de référence, HYPERGAL présente une amélioration médiane de l'ordre 50% pour $0.2 < c < 0.6$ et revient progressivement à une amélioration médiane de l'ordre de 20% jusqu'aux derniers intervalles de contraste étudiés. La division par le continuum retirant les effets de l'amplitude et de la couleur sur le calcul du RMS spectral, cette différence provient exclusivement des contaminations de la SN par la galaxie hôte, ce qui démontre l'efficacité d'HYPERGAL à diminuer drastiquement cet effet.

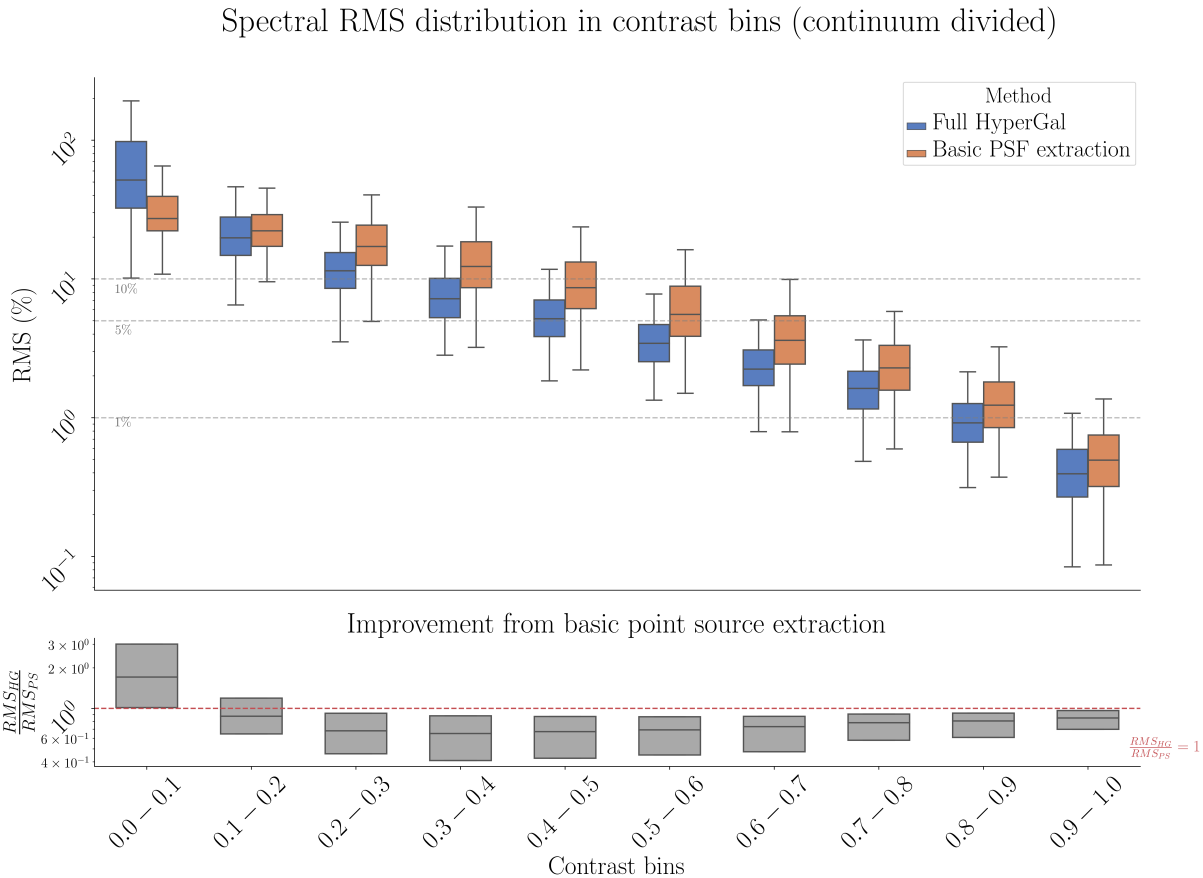


FIGURE 9.11 – Même chose que pour la Figure 9.8 mais après division des spectres par leur continuum.

9.2.3 Distribution de contraste dans les observations

Avant d’analyser l’efficacité de classification d’**HYPERGAL**, nous avons souhaité sonder la distribution de contraste des observations effectuées avec la SEDm. Cette information nous permet de confronter nos résultats à la réalité des observations, et par conséquent avoir une estimation de l’amélioration statistique apportée par **HYPERGAL** dans un échantillon de SNe.

Plutôt que d’utiliser **HYPERGAL** sur de nombreuses observation faites avec la SEDm, ce qui reviendrait à évaluer un pipeline avec lui-même, nous avons estimé le contraste à partir d’images photométriques.

L’échantillon utilisé est celui de la *data release 2* de ZTF-Cosmo, constitué uniquement de SNeIa et que nous présenterons dans le chapitre suivant. Cet échantillon contenant un agglomérat de spectre issus de plusieurs spectrographes, nous n’avons sélectionné que les spectres provenant d’une observation de la SEDm soit environ 3000 observations (certaines SNeIa peuvent avoir été observées plusieurs fois).

Nous rappelons que nous avons défini dans nos simulations le contraste tel que $c = S_r/(S_r + B_r)$ dans la bande r de ZTF, où le signal de fond B_r tient compte de la galaxie mais également du fond de ciel.

En utilisant l’ajustement SALT2 de la courbe de lumière d’une SN donnée, et connaissant sa date d’observation avec la SEDm, nous pouvons en déduire la magnitude apparente

dans une bande arbitraire. Nous avons choisi d'utiliser la bande r de PS1, qui est très similaire à la bande r de ZTF, car seules les images de ce relevé étaient disponibles au moment de l'étude pour estimer le signal de fond. Cette étape nous permet de remonter à S_r .

Pour le signal de fond nous avons utilisé le résultat d'une analyse externe, effectuée par un membre de la collaboration sur les images PS1, évaluant le flux présent dans un rayon de $2''$ autour de la position de détection de la SN. Ces images étant pré-corrigées du fond de ciel, cette information ne nous donne que la composante de la galaxie hôte $B_{gal,r}$ du signal de fond total $B_r = B_{gal,r} + B_{sky,r}$. Nous avons par conséquent rajouté une composante effective pour avoir une comparaison juste du contraste des observations et de celui de nos simulations. Nous avons choisi d'utiliser 2 valeurs différentes pour simuler le fond de ciel des observations de la SEDm : une fiduciel correspondant à la profondeur en magnitude de la SEDm avec une magnitude $m_{sky} = 20$ mag, et une conservatrice avec $m_{sky} = 21$ mag.

La Figure 9.12 montre la distribution de contraste déduite pour ~ 3000 observations de SNeIa faites avec la SEDm, et pour les deux valeurs de fond de ciel effectif utilisées. Le fond de ciel étant largement négligeable devant une composante galactique, sa modification altère la distribution essentiellement à haut contraste. En effet, pour une supernova isolée de sa galaxie hôte, le contraste tendrait systématiquement vers $c = 1$ si le fond de ciel est fixé à 0.

La médiane de la distribution est de $Me(c) = 0.58$ en considérant un fond de ciel à $m_{sky} = 20$ mag, et de $Me(c) = 0.64$ pour $m_{sky} = 21$ mag.

La Figure 9.12 montre la version cumulative de la distribution en contraste. Nous voyons que moins de 1% des observations ne présente un contraste $c < 0.1$, et seulement 7% avec un contraste $c < 0.2$. Pour les contrastes élevés, un ciel à $m_{sky} = 20$ mag montre $\sim 2\%$ des observations avec un $c > 0.9$ et 5% pour un ciel à $m_{sky} = 21$ mag. En d'autres termes, près de 95% des observations semblent montrer un contraste entre $0.1 < c < 0.9$, et un peu moins de 90% entre $0.2 < c < 0.8$.

Sachant les résultats montrés avec l'étude du RMS spectral, HYPERGAL pourrait permettre une mesure spectrophotométrique avec une précision de l'ordre de 10% (respectivement 5%) pour près de 55% (respectivement 35%) de l'échantillon. Après division par le continuum, la précision serait de 10%, 5% et 2% pour 80%, 60% et 30% de l'échantillon respectivement.

9.2.4 Efficacité de classification

La dernière analyse de nos simulations, et la plus importante dans le cadre de la SEDm, est celle de l'efficacité d'HYPERGAL à classifier les supernovae simulées.

Nous avons pour cela utilisé le même classifieur que ZTF, c'est à dire **SNID**. Les critères de confiance que nous accordons pour la classification sont cependant légèrement plus stricts, ayant régulièrement observé des faux positifs dans les figures de contrôle du pipeline **PYSEDM**. Nous choisissons de fixer le *rlap* minimal à $rlap_{min} = 6$ pour le modèle ajustant le mieux le spectre extrait. Par ailleurs, pour valider une classification au moins 50% des 10 meilleurs modèles doivent être du même type que le meilleur. Si un seul des critères ci-dessus n'est pas respecté, alors nous classifions le spectre comme étant incertain.

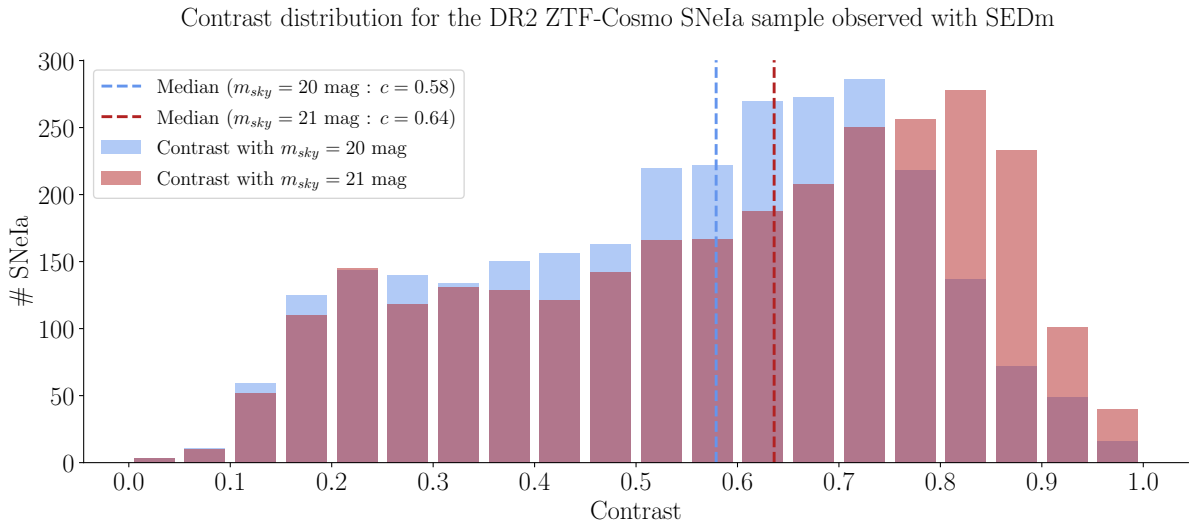


FIGURE 9.12 – Distribution du contraste d'environ 3000 SNeIa de la DR2 de ZTF-Cosmo. Le contraste est calculé à partir d'une ouverture de $2''$ dans les images PS1 autour de la SNIa pour la mesure du signal de fond, et de la magnitude dans la bande r_{PS1} de la SNIa à partir de l'ajustement SALT2 de la courbe de lumière. Le signal de fond étant mesuré sans la contribution du ciel, nous rajoutant cette composante à deux valeurs effectives : $m_{sky} = 20$ pour une valeur réaliste ([BLAGORODNOVA et al., 2018](#)), et $m_{sky} = 21$ pour une valeur conservatrice.

Nous montrons dans la Figure 9.14 les résultats de la classification obtenue avec **HYPERGAL** pour les 5000 simulations, ainsi que l'amélioration par rapport à la méthode d'extraction simple. Comme attendu avec l'étude du RMS spectral, il semble illusoire d'espérer une classification de confiance lorsque le contraste est inférieur à 0.1. Une amélioration notable est visible dans l'intervalle de $0.1 < c < 0.2$ pour les supernovae de type Ia, **HYPERGAL** classifiant correctement 71% d'entre elles. Cela s'explique par le grand nombre de caractéristiques du spectre de ce type de supernova, facilitant la classification. Les types Ibc et types II en revanche ne sont retrouvés qu'à 22.5% et 35% respectivement, certainement parce que ces spectres sont pauvrement structurés.

Le succès de classification monte ensuite entre $0.2 < c < 0.3$ à plus de 96% pour les Ia, 77% pour les types Ibc et 51% pour les types II.

Plus de 99% des types Ia sont correctement classifiées à partir d'un contraste de 0.3, et plus de 95% des toutes les supernovae sont correctement classifiées pour un contraste supérieur à 0.4.

L'amélioration vis à vis de la méthode d'extraction simple est clairement identifiée, avec 30% de Ia en plus entre $0.1 < c < 0.3$, 15% entre $0.3 < c < 0.4$, 10% entre $0.4 < c < 0.5$ et 5% entre $0.5 < c < 0.6$. Au delà l'amélioration devient marginale quelque soit le type de supernova.

Nous pouvons en déduire qu'**HYPERGAL** améliore drastiquement la classification des supernovae lorsque le contraste est compris entre 0.1 et 0.6, avec une zone optimale entre 0.2 et 0.5.

En prenant en compte la distribution en contraste des observations que nous avons montré dans les Figures 9.12 et 9.13, nous montrons qu'**HYPERGAL** améliore la classification

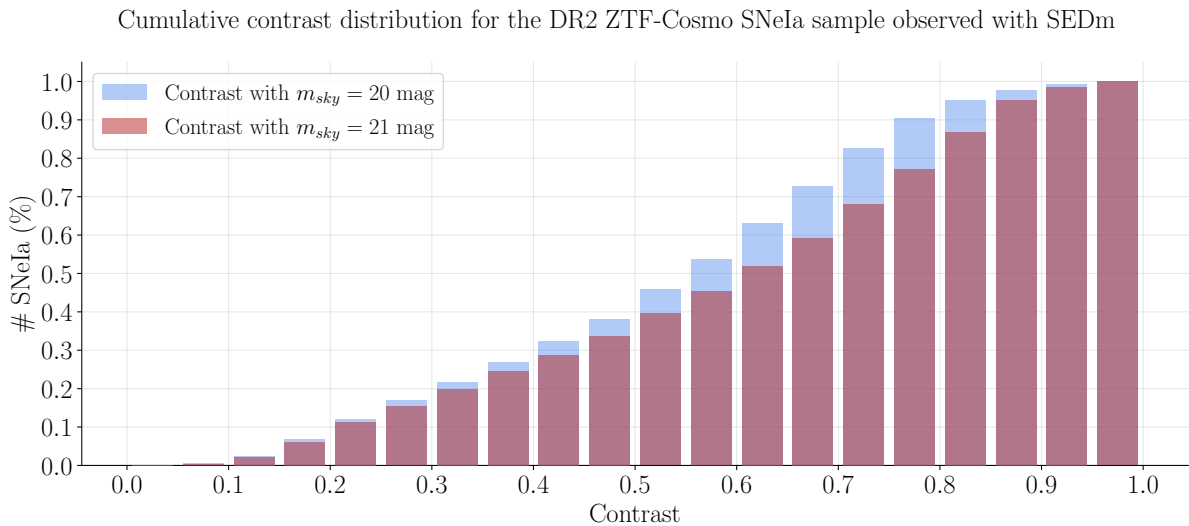


FIGURE 9.13 – Même chose que pour la Figure 9.12 mais avec la distribution cumulative des contrastes

des SNeIa dans près de 50% des observations (les 50% restant étant aussi bien classifiés par la méthode d'extraction de référence). Sachant que $\sim 50\%$ des observations ont un contraste entre $0.2 < c < 0.6$, HYPERGAL permettrait la classification de presque 20% de SNeIa supplémentaires dans cet intervalle, soit 10% sur l'échantillon total de SNeIa classifiable avec la SEDm.

Bien que nous n'ayons pas de statistique sur la distribution en contrastes des autres types de SNe, nous pouvons faire l'hypothèse d'une distribution semblable aux SNeIa et appliquer le même raisonnement. De cette façon nous pouvons déduire un équivalent de 14% de SNeII supplémentaires et 11% de SNeIbc.

Nous examinons par ailleurs le taux de faux positifs pour les supernovae de type Ia, pouvant mener à une contamination des analyses cosmologiques si non pris en compte. La Figure 9.15 montre que les SNeIa classifiées par HYPERGAL sont plus rarement des faux positifs que pour la méthode de référence. Si nous excluons le premier intervalle de contraste ($c < 0.1$) où quasiment aucune observation n'a lieu (et où aucune des deux méthodes n'est efficace pour classifier une quelconque SN), alors nous avons pour HYPERGAL une décroissance progressive de 7.8% à 1% de faux positifs pour un contraste allant de 0.1 à 0.6 (aucun au delà). La méthode de référence quant à elle oscille entre 6% et 9% de faux positifs dans cet intervalle.

Le taux de faux positifs pour HYPERGAL serait donc inférieur à 5% pour les contrastes compris entre 0.1 et 0.6 (50% des observations), et inférieur à 2% sur tout l'intervalle $c > 0.1$ (99%+ des observations).

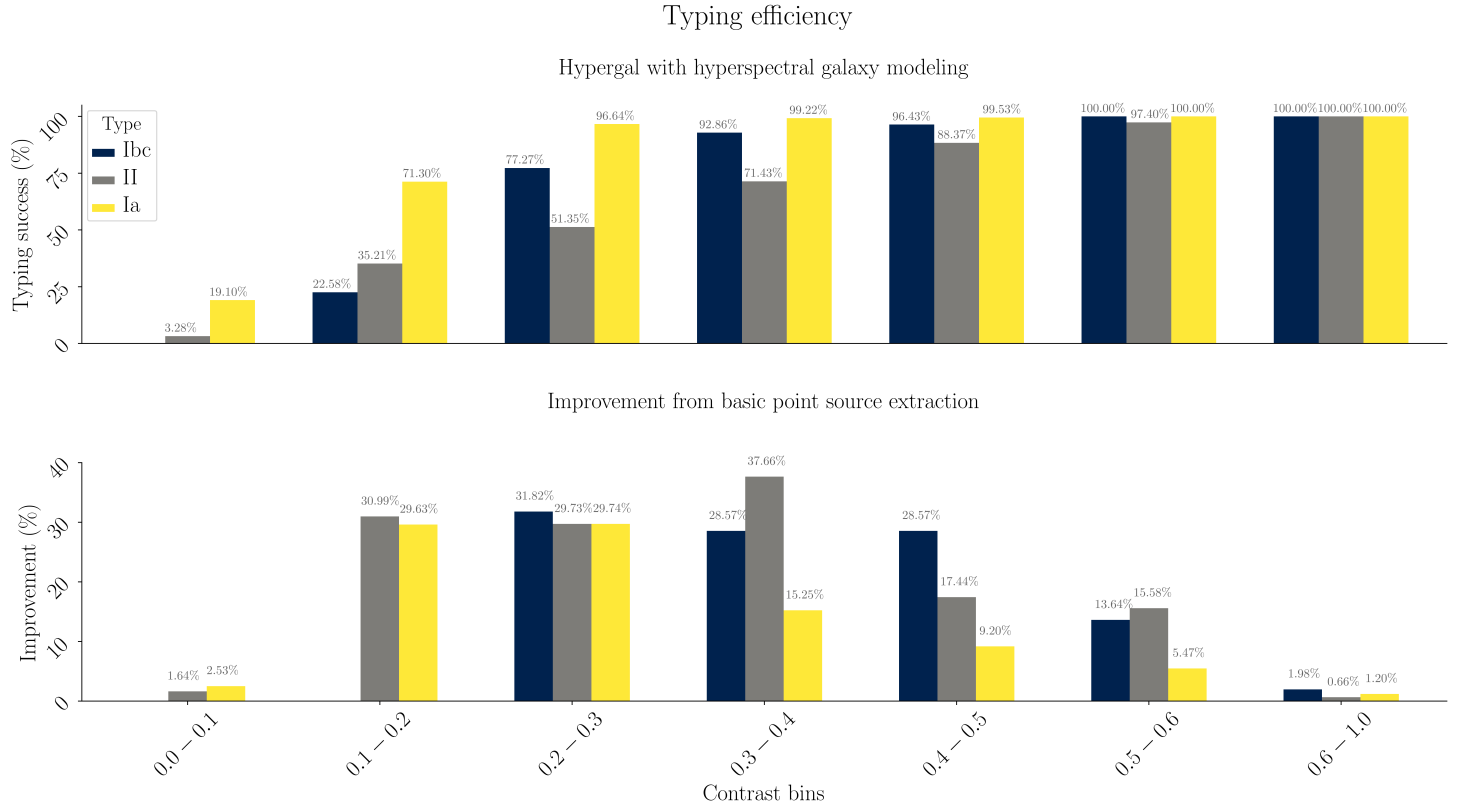


FIGURE 9.14 – Efficacité de classification des simulations. *En haut* nous montrons le pourcentage de classification réussie avec HYPERGAL pour chaque type de supernova et différents intervalles de contraste. Nous avons concaténé les 4 derniers intervalles car les résultats ne varient plus ou très peu au delà d'un contraste $c > 0.6$. *En bas* nous montrons l'amélioration de classification par rapport à la méthode d'extraction simple.

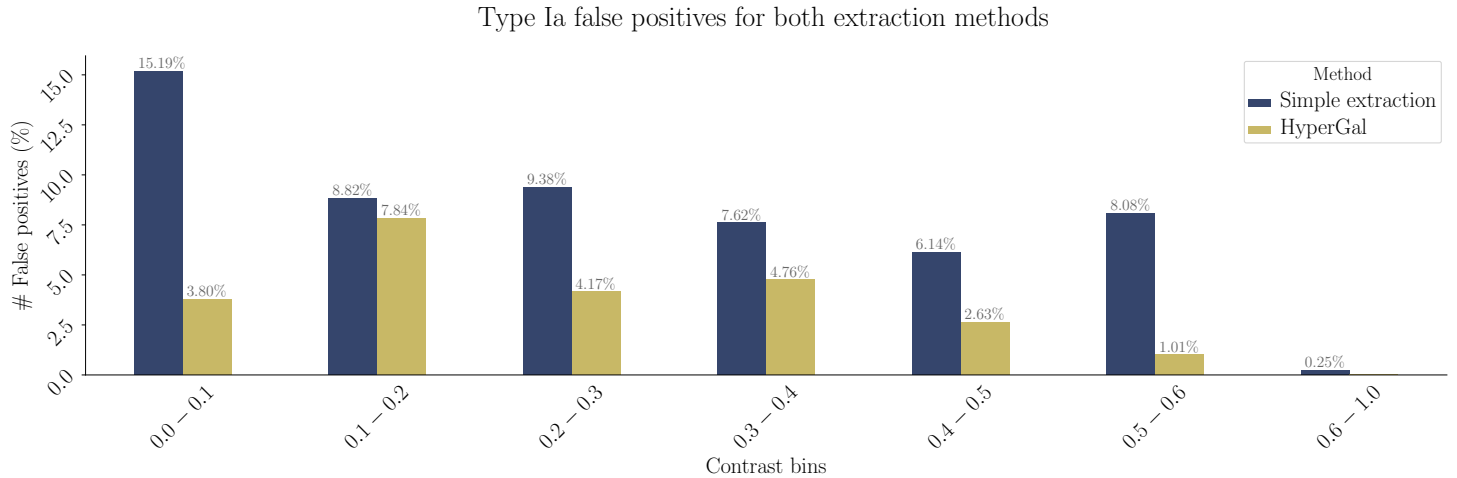


FIGURE 9.15 – Taux de faux positifs dans la classification des SNeIa pour les deux méthodes d'extraction, en fonction du contraste.

Bibliographie

- BETOULE M., KESSLER R., GUY J. et al. 2014, « Improved cosmological constraints from a joint analysis of the SDSS-II and SNLS supernova samples », *Astronomy and Astrophysics*, 568, A22 [↑ Section 9.1.4.1](#)
- BLAGORODNOVA N., NEILL J. D., WALTERS R. et al. 2018, « The SED Machine : A Robotic Spectrograph for Fast Transient Classification », *Publications of the Astronomical Society of the Pacific*, 130, 035003 [↑ Section 9.1.4.2](#), [↑ Section 9.12](#)
- BLONDIN S. et TONRY J. L. 2007, « Determining the Type, Redshift, and Age of a Supernova Spectrum », *The Astrophysical Journal*, 666, 1024 [↑ Section 9.1.3](#), [↑ Section 9.2.1](#)
- DHAWAN S., GOOBAR A., SMITH M. et al. 2022, « The Zwicky Transient Facility Type Ia supernova survey : first data release and results », *Monthly Notices of the Royal Astronomical Society*, 510, 2228 [↑ Section 9.1.4.1](#)
- FREMLING C., MILLER A. A., SHARMA Y. et al. 2020, « The Zwicky Transient Facility Bright Transient Survey. I. Spectroscopic Classification and the Redshift Completeness of Local Galaxy Catalogs », *The Astrophysical Journal*, 895, 32 [↑ Section 9.1.4.1](#)
- GUY J., ASTIER P., BAUMONT S. et al. 2007, « SALT2 : using distant supernovae to improve the use of type Ia supernovae as distance indicators », *Astronomy and Astrophysics*, 466, 11 [↑ Section 9.1.4.1](#)
- GUY J., ASTIER P., NOBILI S., REGNAULT N. et PAIN R. 2005, « SALT : a spectral adaptive light curve template for type Ia supernovae », *Astronomy and Astrophysics*, 443, 781 [↑ Section 9.1.4.1](#)
- GUY J., SULLIVAN M., CONLEY A. et al. 2010, « The Supernova Legacy Survey 3-year sample : Type Ia supernovae photometric distances and cosmological constraints », *Astronomy and Astrophysics*, 523, A7 [↑ Section 9.1.4.1](#)
- RIGAULT M., NEILL J. D., BLAGORODNOVA N. et al. 2019, « Fully automated integral field spectrograph pipeline for the SEDMachine : pysedm », *Astronomy and Astrophysics*, 627, A115 [↑ Section 9.2](#)
- SAVITZKY A. et GOLAY M. J. E. 1964, « Smoothing and differentiation of data by simplified least squares procedures », *Analytical Chemistry*, 36, 1627 [↑ Section 9.1.3](#)